

高等学校交流讲义



鋼 鐵 热 处 理 原 理

林栋梁 楊安靜編

周 志 宏 校

本书內容共分8章，闡述金屬的扩散、鋼在加热时的轉变、
鋼在冷却时的轉变、奧氏体到珠光体的轉变、奧氏体到馬氏体的
轉变、奧氏体到貝氏体的轉变、回火时的轉变、脫溶与时效等問題。

本书可作高等工业学校金属学及热处理专业 [鋼鐵热处理]
課程的教材，也可供有关工程技术人员的参考。

鋼 鐵 热 处 理 原 理

林栋梁 楊安靜編

*

中国工业出版社出版 (北京佐麟路丙10号)

(北京市书刊出版业营业登记证出字第119号)

机工印刷厂印制

新华书店科技发行所发行·各地新华书店經售

*

开本 787×1092 1/32 · 印張 7 3/4 · 字数 162,000

1961年7月北京第一版 · 1961年8月北京第一次印刷

印数：0,001—3,833 · 定价(10-6)0.94元

统一书号：15165·655(-机133)

目 次

第一章 金屬的扩散	5
第一节 金屬扩散的基本規律	7
第二节 扩散机构	16
第三节 扩散系数的测定方法	24
第四节 影响扩散系数的因素	■
第二章 鋼在加热时的轉变	43
第一节 珠光体轉变为奥氏体的机构	44
第二节 珠光体轉变为奥氏体的动力学	48
第三节 原始組織和成分对奥氏体等溫形成的影响	52
第四节 連續加热时珠光体到奥氏体的轉变	55
第五节 奥氏体晶粒的长大	58
第六节 奥氏体晶粒长大机构及其控制	63
第三章 鋼在冷却时的轉变	71
第一节 鋼在冷却时的轉变	71
第二节 过冷奧氏体的等溫轉变	74
第三节 奥氏体等溫轉变产物的組織和性能	78
第四节 影响奥氏体等溫轉变的因素	80
第五节 鋼在連續冷却时的轉变	86
第四章 奥氏体到珠光体的轉变	95
第一节 珠光体轉变机构	97
第二节 奥氏体轉变为珠光体的动力学——奧氏体到珠光体等溫轉变	99
第三节 合金鋼中珠光体轉变过程的特点	105
第五章 奥氏体到馬氏体的轉变	113
第一节 馬氏体的組織、結構和性能	118

第二节 馬氏体轉变的特点 (實驗結果的綜合).....	124
第三节 馬氏体轉变机构	133
第四节 馬氏体轉变的动力学	142
第五节 范性形变、輻照和相变冷作对馬氏体 轉变的影响	153
第六章 奧氏体到貝氏体的中溫轉变	169
第一节 中溫轉变的特征	169
第二节 中溫轉变的动力学	174
第三节 貝氏体轉变时碳分及合金元素的变化	177
第四节 奧氏体到貝氏体的中溫轉变机构	183
第五节 魏氏体組織的轉变	186
第七章 回火时的轉变	192
第一节 概述	192
第二节 不同原始組織的回火轉变規律	193
第三节 淬硬鋼的回火过程	197
第四节 回火过程中性能的变化	209
第五节 回火脆性	215
第八章 脫溶与时效 (碳在 α 鐵中的分布, 脫溶与时效).....	230
第一节 碳在 α 鐵中所引起的效果 (彈性及磁性 后效、內耗).....	230
第二节 碳在 α 鐵晶体結構缺陷处不均匀分布	234
一、出現明显屈服极限的原因	235
二、淬火后的时效作用(分散硬化)	236
三、冷变形后的时效作用(机械时效)	243

高等学校交流讲义



鋼 鐵 热 处 理 原 理

林栋梁 楊安靜編

周 志 宏 校

本书內容共分8章，闡述金屬的扩散、鋼在加热时的轉变、
鋼在冷却时的轉变、奧氏体到珠光体的轉变、奧氏体到馬氏体的
轉变、奧氏体到貝氏体的轉变、回火时的轉变、脫溶与时效等問題。

本书可作高等工业学校金属学及热处理专业 [鋼鐵热处理]
課程的教材，也可供有关工程技术人员的参考。

鋼 鐵 热 处 理 原 理

林栋梁 楊安靜編

*

中国工业出版社出版 (北京佐麟路丙10号)

(北京市书刊出版业营业登记证出字第119号)

机工印刷厂印制

新华书店科技发行所发行·各地新华书店經售

*

开本 787×1092 1/32 · 印張 7 3/4 · 字数 162,000

1961年7月北京第一版 · 1961年8月北京第一次印刷

印数：0,001—3,833 · 定价(10-6)0.94元

统一书号：15165·655(-机133)

目 次

第一章 金屬的扩散	5
第一节 金属扩散的基本规律	7
第二节 扩散机构	16
第三节 扩散系数的测定方法	24
第四节 影响扩散系数的因素	■
第二章 鋼在加热时的轉变	43
第一节 珠光体轉变为奥氏体的机构	44
第二节 珠光体轉变为奥氏体的动力学	48
第三节 原始組織和成分对奥氏体等溫形成的影响	52
第四节 連續加热时珠光体到奥氏体的轉变	55
第五节 奥氏体晶粒的长大	58
第六节 奥氏体晶粒长大机构及其控制	63
第三章 鋼在冷却时的轉变	71
第一节 鋼在冷却时的轉变	71
第二节 过冷奧氏体的等溫轉变	74
第三节 奥氏体等溫轉变产物的組織和性能	78
第四节 影响奥氏体等溫轉变的因素	80
第五节 鋼在連續冷却时的轉变	86
第四章 奥氏体到珠光体的轉变	95
第一节 珠光体轉变机构	97
第二节 奥氏体轉变为珠光体的动力学——奥氏体到珠光体等溫轉变	99
第三节 合金鋼中珠光体轉变过程的特点	105
第五章 奥氏体到馬氏体的轉变	113
第一节 馬氏体的組織、結構和性能	118

第二节 馬氏体轉变的特点 (實驗結果的綜合).....	124
第三节 馬氏体轉变机构	133
第四节 馬氏体轉变的动力学	142
第五节 范性形变、輻照和相变冷作对馬氏体 轉变的影响	153
第六章 奧氏体到貝氏体的中溫轉变	169
第一节 中溫轉变的特征	169
第二节 中溫轉变的动力学	174
第三节 貝氏体轉变时碳分及合金元素的变化	177
第四节 奧氏体到貝氏体的中溫轉变机构	183
第五节 魏氏体組織的轉变	186
第七章 回火时的轉变	192
第一节 概述	192
第二节 不同原始組織的回火轉变規律	193
第三节 淬硬鋼的回火过程	197
第四节 回火过程中性能的变化	209
第五节 回火脆性	215
第八章 脫溶与时效 (碳在 α 鐵中的分布, 脫溶与时效).....	230
第一节 碳在 α 鐵中所引起的效果 (彈性及磁性 后效、內耗).....	230
第二节 碳在 α 鐵晶体結構缺陷处不均匀分布	234
一、出現明显屈服极限的原因	235
二、淬火后的时效作用(分散硬化)	236
三、冷变形后的时效作用(机械时效)	243

第一章 金屬的扩散

所謂扩散系指原子（分子或离子）在气体、液体或固体介质中，由于热振动引起的迁移。在許多場合下由于原子定向移动的結果扩散可使濃度逐漸趋向均匀。扩散現象最早是在气体与液体中发现。如在一个封闭的容器中盛有二种气体，并由隔板将它們隔开，当抽掉隔板时，这二部分气体就会由于分子的热运动而很快地相互混合，并成为各部分濃度均匀的气体，这种現象就是气体的扩散。液体中也存在扩散現象。大家知道，在深藍色的硫酸銅溶液层上，小心地注入清水，硫酸銅溶液保留在底层（因硫酸銅的比重較大），二者具有明显的界限，当靜置一定时间，发现硫酸銅溶液会克服重力作用而向上移动——扩散。在日常生活中亦經常碰到这种扩散現象。

在固体金屬中也发生扩散現象。很久以来，人們总是将固体金屬中原子与凝固和不动性这一概念相联系。实际上原子在固体中除了圍繞平衡位置进行振动外，还可以离开平衡位置而在晶体中移动。我們知道，固体金屬系結晶体，原子作有規律的排列。每个原子（正离子）都在其固定的平衡位置作微小的振动，其振动頻率的数量級为 10^{13} 赫芝。原子要从点陣的某一位置移向另一位置，必須克服能峰，翻过一个能垒（图 1-1）。由于热波动的原因，某些原子会获得足够的能量（激活能）使它足以通过这一位垒，移向新的位置（至于原子如何移动即扩散机构見第二节）。原子的这种移动为固

体金属的扩散创造了可能。这样一种原子的微观移动是没有一定方向的。但是当有浓度坡度($\frac{dc}{dx}$)存在时，例如在图1-2中拿I-I切面为界来看，左边A含量多，右边A含量少，由

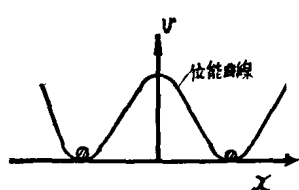


图1-1 晶体点阵间的位能曲线。

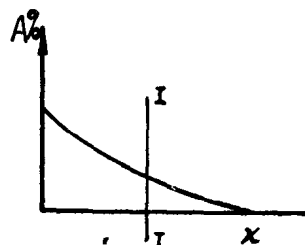


图1-2 沿x方向A原子的浓度分布。

于原子运动的结果，左边的A原子必然要向右边移动。所以统计地看A原子沿浓度下坡宏观地扩散，也就是说扩散的结果使原子向浓度下坡移动，使不均匀的固溶体趋于均匀。某些情况下扩散的结果也会使固溶体反而趋于不均匀。如在应力影响下的上坡扩散就是一例。

尽管固体中原子的迁移性已应用了几百年，如早期炼钢技术中将铁渗碳得到硬钢(渗碳钢)即系一例。但一直到上世纪的八十年代，关于这种迁移性的事实还只有一些片断的猜想。固体中扩散现象第一次系统研究是在前世紀末进行的，这是第一次定量地测定了扩散常数。

以后，大家对扩散问题进行了大量的理论与实验的研究，到目前为止关于扩散的基本规律及数学处理方法都已确定，影响扩散的各种因素也进行了详尽的讨论，对扩散规律在各方面应用及扩散机构问题作了大量的研究，并取得很大成就。

金属中的扩散是近代金属学及金属物理学中一个十分重

要的問題。許多問題都与扩散有密切关系。扩散是各种金属与合金化学热处理过程中的理論基础，也是各种热处理过程（如退火，回火，时效，再结晶）的基础。固态金属中的許多过程的速度（如相变，过饱和固溶体的分解，偏析的均匀化等）都决定于扩散的速度。粉末冶金中的燒結过程及双金属軋制等也都是直接利用了扩散的方法。大量研究証明，高溫强度也与金属与合金中的扩散有密切的关系。实际上，近代研究耐热合金时已把扩散列为基本研究問題之一。

在純金属和固溶体中扩散有下列三种現象：

- (1) 在純金属中原子的迁动，称自扩散；
 - (2) 在固溶体中溶质原子的迁动，称异扩散；
 - (3) 在固溶体中溶剂原子的迁动，称为固溶体中的自扩散。
- (2) (3)是固溶体中扩散的两个方面。

第一节 金属扩散的基本規律

扩散速度是受物质的性质和濃度坡度所控制，Adolf Fick 于1855年根据了一些实验結果，首先在理想气体及理想溶液情况下找到扩散的宏观統計規律。他指出：在稳定的情况下，即各部分濃度不随時間而变化，扩散粒子系无定向的运动而且彼此間毫无影响时，则通过横截面的扩散流 J (flux, 单位時間在单位横截面积上通过的物质量) 与濃度坡度成如下的关系：

$$J = -D \frac{dc}{dx}。 \quad (1-1)$$

这就是 Fick 第一定律，亦即扩散第一方程。(1-1)式中 D 是比例正常数，称为扩散系数，系单位時間內，单位横截面上，

在单位浓度坡度情况下通过的物质数量，它是衡量扩散速度的一个基本量。扩散系数的量纲是 $[L^2 t^{-1}]$ ，单位用厘米 2 /秒，在实用上由于数值太小，所以一般都用厘米 2 /天为计算单位。在(1-1)式中的负号表示扩散是沿着浓度低的方向进行的，当 $\frac{dc}{dx}$ 是负值时，扩散方向就应该是正值。

这一公式也可用下式表达：

$$dm = -D \frac{dc}{dx} \cdot ds \cdot d\tau \quad (1-2)$$

在(1-2)式中， dm 是通过横截面的物质数量， ds 是截面面积， $d\tau$ 是时间间隔。Fick 第一定律的推导：

为了推导方便起见，我们用“异扩散”进行讨论，不难了解，这对自扩散也是正确的。我们讨论B组元溶解在A组元中所形成的固溶体中的扩散过程。

假定：

(1) 在相邻原子平面浓度差无限小；

(2) 浓度不随时间而变($\frac{\partial c}{\partial \tau} = 0$)；

(3) 原子从任何平衡位置转移到相邻平衡位置的几率在一定温度和一定浓度下是一常数，用 α 表示单位时间间隔（即1秒）内这种转变的几率；

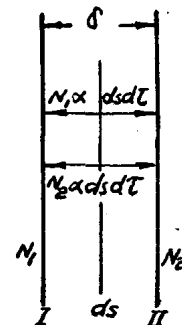


图1-3 推导扩散第一方程。

(4) 假定原子在三度空间中沿着互相垂直的六个方向运动的几率是相等。即每一方向的运动几率为 $\frac{1}{6}\alpha$ 。

根据这些假定可以讨论组元B的原子在两个相互平行的原子平面间交换情形(图1-3)。

设平面I的每平方厘米上有 N_1 个组元B的原子，而在平

面Ⅱ上有 N_2 个这种原子。在 $d\tau$ 秒内，在平面Ⅰ的 ds 平方厘米面积上有 $\frac{1}{6}\alpha N_1 ds d\tau$ 个組元 B 的原子移到平面Ⅱ去。

在同一時間間隔內向相反方向移动的原子数是 $\frac{1}{6}\alpha N_2 ds d\tau$ 个，那么在 $d\tau$ 秒內經過面积 ds (图1-3)，由平面Ⅰ到平面Ⅱ的組元 B 的原子数为 $-\frac{1}{6}\alpha(N_1 - N_2) ds d\tau$ 。如用 N_0 表示阿福加德罗数，以克原子表示的 B 原子迁移质量 dM 可写成

$$dM = -\frac{1}{6}\alpha \left(\frac{N_1}{N_0} - \frac{N_2}{N_0} \right) ds d\tau,$$

将这方程式右端分子分母各乘以面間距离 δ ，則得：

$$dM = -\frac{1}{6}\delta\alpha \left(\frac{N_1/N_0}{\delta} - \frac{N_2/N_0}{\delta} \right) ds d\tau.$$

在单位面积上含 N_1 和 N_2 个原子的原子层的体积等于 δ (底面积是 1，高度是 δ)，所以括号中的分数显然是組元 B 在原子层Ⅰ及Ⅱ上的克原子濃度 C_1 和 C_2 ；經過整理后即成下面方程式：

$$dM = -\frac{1}{6}\alpha\delta (C_1 - C_2) ds d\tau = -\frac{1}{6}\alpha\delta\Delta c ds d\tau.$$

式中 Δc 表示平面Ⅰ到平面Ⅱ的濃度变化，即 $C_2 - C_1$ ，而非括号中的 $C_1 - C_2$ 。上式的右端用 δ 乘和 δ 除，同时注意到由于晶体点陣中的面間距离很小，可以使 $\frac{\Delta c}{\delta} = \frac{dc}{dx}$ ，此处 x 是与平面Ⅰ，Ⅱ的法綫相合的座标軸，得下式：

$$dM = -\frac{1}{6}\alpha\delta^2 \frac{dc}{dx} ds d\tau,$$

用扩散系数 D 来表示乘积 $\frac{1}{6}\alpha\delta^2$ 最后得到

$$dM = -D \frac{dc}{dx} ds d\tau, \quad (1-2)$$

即得到 Fick 第一定律：

$$J = \frac{dM}{ds d\tau} = -D \frac{dc}{dx}. \quad (1-1)$$

在固体金屬及合金的實驗計算上我們不能采用(1-1)及(1-2)式。因为在實驗技術上要維持濃度坡度為常數(即 $\frac{dc}{d\tau} = 0$)非常困難，所以採用這一公式去測定擴散系數是不可能的。如果能够知道在某一指定時間內沿着擴散路徑的濃度分布情況[$C=f(x)$]，或知道在一定位置上，濃度隨時間的變化情況[$C=f(\tau)$]，則擴散系數就可以測出。因而在實用上就採用了Fick第二定律(即擴散第二方程)。這種擴散的特點是 $\frac{\partial c}{\partial \tau} \neq 0$ ，由擴散進入一個區域與離開這個區域的質量是不相等，這種擴散稱做不穩定的擴散，Fick第二定律可表达如下式：

$$\frac{\partial c}{\partial \tau} = \frac{\partial}{\partial x} \left(D \frac{\partial c}{\partial x} \right). \quad (1-3)$$

(1-3) 中的 D 與濃度有關。當 D 與濃度无关時，則

$$\frac{\partial c}{\partial \tau} = D \frac{\partial^2 c}{\partial x^2}. \quad (1-4)$$

我們來討論組元 B 通過一個厚度是 dx 的平面層沿 x 軸方向的擴散(圖 1-4)。在為普遍情況所作的推導中，假設擴散系數可以與擴散組元的濃度有關，因而它隨着擴散層深度而變化。

設形成這個層的二個相等而平行的面 ds_1 及 ds_2 的座標等於 x 及 $x + dx$ ，於是根據(1-3)式在 $d\tau$ 秒中通過 ds ，而進入體積 $dsdx$ 內的溶質元素的質量 dM_1 是

$$dM_1 = - \left[D \left(\frac{dc}{dx} \right)_x \right] d\tau ds;$$

而通過 ds_2 留開這個體積的質量是

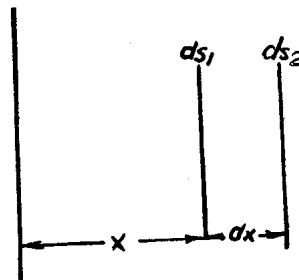


圖 1-4 推導擴散第二方程。

$$dM_2 = - \left[D \left(\frac{dc}{dx} \right) \right]_{x+dx} d\tau ds_0$$

因为浓度 C 随着 x 的增加而减小，所以在时间 $d\tau$ 内在体积 $dsdx$ 中组元 B 的质量增加是 dM （组元 B 经过 ds_1 进入的较经过 ds_2 离开的为多）：

$$\begin{aligned} dM &= dM_1 - dM_2 = \left\{ \left[D \left(\frac{dc}{dx} \right) \right]_{x+dx} - \left[D \left(\frac{dc}{dx} \right) \right]_x \right\} d\tau ds \\ &= d \left[D \left(\frac{dc}{dx} \right) \right] ds d\tau, \end{aligned}$$

在体积 $dsdx$ 中组元 B 浓度的改变等于 $dM/(dsdx)$ ，由此得出

$$dC = \frac{dM}{dsdx} = \frac{d}{dx} \left(D \frac{dc}{dx} \right) d\tau_0$$

即得 Fick 扩散第二定律（即扩散第二方程）如下：

$$\frac{\partial c}{\partial \tau} = \frac{\partial}{\partial x} \left(D \frac{\partial c}{\partial x} \right)_0 \quad (1-3)$$

在最简单的特殊情况下，当扩散系数与扩散浓度无关时，方程式 (1-3) 就变成

$$\frac{\partial c}{\partial x} = D \frac{\partial^2 c}{\partial x^2} \quad (1-4)$$

在这种情况下，可成如下关系：

$$\frac{\partial c}{\partial \tau} = D \left(\frac{\partial^2 c}{\partial x^2} + \frac{\partial^2 c}{\partial y^2} + \frac{\partial^2 c}{\partial z^2} \right)_0 \quad (1-5)$$

在不久以前 (1-3) 式还是唯一被采用的一个公式，但是必须强调指出，只有当扩散系数与扩散元素浓度无关时，这一公式才是有效的。严格说来只有在纯金属的自扩散时，这种假定才是可能的，但是当浓度差很小或只作粗略计算时，这一公式也还是适用的。

为了应用这一公式对实验结果进行计算，必须解出这一微分方程，要求积分得出下列关系：

$$C = f(x, \tau)_0$$

类似扩散第二方程的微分方程的积分理論已有詳細的研究，此地我們只介紹二种最簡單而实际上又最常用的特殊情況的积分結果：

1. 半无限长空間的不稳定扩散（如示意图）：空間无限长，原始濃度与界面濃度均为 C_0 ，在扩散过程中 C_0 不变。

原始条件：当 $\tau_0 = 0$ 时， $x = 0$ ， $C = C_0$ ； $x > 0$ ， $C = C_1$ 。

边界条件：当 $x = 0$ 时， $C = C_0(\tau > 0)$ ；

当 $x = \infty$ 时， $C = C_1(\tau > 0)$ 。

如何得到这种边界条件和起始条件呢？在B組元溶解在組元A的固溶体中， C_0 是B組元在A中的飽和溶解度，用組元B或B在A中过飽和固溶体作扩散源均可滿足这个条件。

假定0与濃度无关，便可解出方程式(1-5)，結果如下：

$$C(x, \tau) = C_0[1 - \Phi(\omega)],$$

式中 $\omega = \frac{x}{\sqrt{D\tau}}$ ， $\Phi(\omega)$ 是克兰伯超越函数，即

$$\Phi(\omega) = \frac{2}{\sqrt{\pi}} \int_0^{\omega} e^{-a^2} da,$$

故上式可以改写成：

$$\frac{C(x, \tau)}{C_0} = 1 - \Phi\left(\frac{x}{2\sqrt{D\tau}}\right) \quad (1-6)$$

为了計算 C/C_0 ，表1-1中列出了不同的 $\omega = \frac{x}{2\sqrt{D\tau}}$ 所对应的 $1 - \Phi\left(\frac{x}{2\sqrt{D\tau}}\right)$ 值。（图1-5）是函数 $\frac{C}{C_0} = f\left(\frac{x}{2\sqrt{D\tau}}\right)$ 的圖解。

在一定的實驗条件下，即当扩散时间 τ 及扩散系数 D 恒定时，则 $C/C_0 = f\left(\frac{x}{2\sqrt{D\tau}}\right)$ 关系曲綫可写成 $C/C_0 = f(x)$ ，亦就是当 $D = \text{常数}$ ，在一定扩散时间（ $\tau = \text{常数}$ ）内，扩散元

表1-1 不同的 $\frac{x}{2\sqrt{D\tau}}$ 值所对应的 $\frac{C}{C_0} = 1 - \phi\left(\frac{x}{2\sqrt{D\tau}}\right)$ 值

$\frac{C}{C_0}$	$\frac{x}{2\sqrt{D\tau}}$	$\frac{C}{C_0}$	$\frac{x}{2\sqrt{D\tau}}$	$\frac{C}{C_0}$	$\frac{x}{2\sqrt{D\tau}}$
1.00	0.000	0.30	0.73	0.016	1.70
0.90	0.090	0.28	0.76	0.012	1.78
0.85	0.135	0.26	0.79	0.010	1.82
0.80	0.179	0.24	0.83	0.008	1.88
0.75	0.235	0.22	0.86	0.006	1.94
0.70	0.272	0.20	0.90	0.005	1.99
0.65	0.321	0.18	0.94	0.004	2.04
0.60	0.371	0.16	0.99	0.003	2.10
0.55	0.422	0.14	1.04	0.002	2.19
0.50	0.477	0.12	1.09	0.0016	2.23
0.48	0.500	0.10	1.16	0.0012	2.29
0.46	0.522	0.09	1.20	0.0010	2.33
0.44	0.546	- 0.08	1.24	0.0008	2.37
0.42	0.570	0.07	1.28	0.0006	2.43
0.40	0.595	0.06	1.33	0.0005	2.46
0.38	0.621	0.05	1.39	0.0004	2.51
0.36	0.647	0.04	1.45	0.0003	2.56
0.34	0.675	0.03	1.53	0.0002	2.63
0.32	0.703	0.02	1.65	0.0001	2.75

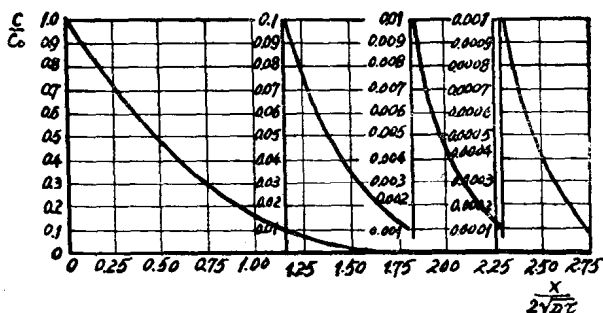


图1-5 函数 $\frac{C}{C_0} = f\left(\frac{x}{2\sqrt{D\tau}}\right)$ 的图解。